



## Raport

z badań poziomu natężenia pola elektrycznego  
w otoczeniu stacji bazowej:

### WAL3122

na podstawie sprawozdania P4/15/2022 udostępnionego przez A-CONNECT Anna Garwol-Porosa

---

#### Laboratorium prowadzące badania

A-CONNECT Anna Garwol-Porosa  
Strażacka 3/2  
58-370 Boguszów-Gorce  
692 692 875

#### Zleceniodawca badań

P4 Sp. z o.o.  
  
02-677 Warszawa  
790 500 500  
kontakt@play.pl

Nr akredytacji: AB 1284

Data wydania sprawozdania: 10.02.2022

Raport zawiera wybrane elementy sprawozdania i służy wyłącznie obrazowemu przedstawieniu informacji o danej instalacji. Raport nie może być wykorzystywany w postępowaniach administracyjnych.

## Informacje ogólne

Zgodność z metodyką RMK: Tak

Ograniczenia: Na podstawie art. 122a ust. 1b ustawy Prawo ochrony środowiska (t.j. Dz.U. z 2020 r., poz. 1219, 1378, 1565, 2127, 2338, z 2021 r. poz. 802, 868, 1047, 1162, 1535.), pomiary PEM w lokalach mieszkalnych i użytkowych zlokalizowanych w obszarze pomiarowym badanej stacji bazowej nie zostały przeprowadzone.

Wykorzystanie w obszarze regulowanym: Tak

## Przedmiot badań

Identyfikator stacji w UKE	WAL3122
Operator	P4 Sp. z o.o.
Współrzędne	16,3780940; 50,7402380
Rodzaj pracy	ciągła
Rodzaj wytwarzanego pola	stacjonarne

## Miejsce badań

Otoczenie stacji bazowej WAL3122 w lokalizacji Niedźwiedzica, dz. nr 67.

## Cel badań

1. Zweryfikowanie zgodności z wymaganiami rozporządzenia Ministra Zdrowia z dnia 19 grudnia 2019 r.

# Opis stacji bazowych

Tabela 1: Opis anten badanych stacji bazowych

Lp.	Identyfikator stacji w UKE	Typ Producent anteny	Azymut	H	EIRP	Pasmo	Tilt	Tilt w trakcie pomiarów
			[°]	[m]	[W]	[MHz]	[°]	[°]
1	WAL3122	AQU4518R25v06 Huawei	55	58,00	16652*	LTE 800	0,0 - 10,0	5,0
						LTE 800	0,0 - 10,0	5,0
						LTE 2600	2,0 - 12,0	5,0
						LTE 2600	2,0 - 12,0	5,0
2		ATR4518R11v06 Huawei	55	58,00	19884*	UMTS 900	0,0 - 10,0	5,0
						LTE 1800	0,0 - 10,0	5,0
	LTE 2100					0,0 - 10,0	5,0	
	LTE 1800					0,0 - 10,0	5,0	
3	AQU4518R25v06 Huawei	140	58,00	16652*	LTE 800	0,0 - 10,0	5,0	
					LTE 800	0,0 - 10,0	5,0	
					LTE 2600	2,0 - 12,0	5,0	
					LTE 2600	2,0 - 12,0	5,0	
4	ATR4518R11v06 Huawei	140	58,00	19884*	UMTS 900	0,0 - 10,0	5,0	
					LTE 1800	0,0 - 10,0	5,0	
					LTE 2100	0,0 - 10,0	5,0	
					LTE 1800	0,0 - 10,0	5,0	
5	AQU4518R25v06 Huawei	250	58,00	16652*	LTE 800	0,0 - 10,0	5,0	
					LTE 800	0,0 - 10,0	5,0	
					LTE 2600	2,0 - 12,0	5,0	
					LTE 2600	2,0 - 12,0	5,0	
6	ATR4518R11v06 Huawei	250	58,00	19884*	UMTS 900	0,0 - 10,0	5,0	
					LTE 1800	0,0 - 10,0	5,0	
					LTE 2100	0,0 - 10,0	5,0	
					LTE 1800	0,0 - 10,0	5,0	
6	ATR4518R11v06 Huawei	250	58,00	19884*	LTE 2100	0,0 - 10,0	5,0	
					LTE 1800	0,0 - 10,0	5,0	
					LTE 2100	0,0 - 10,0	5,0	
					LTE 2100	0,0 - 10,0	5,0	

\* moc EIRP łączna dla wszystkich częstotliwości anteny

## Warunki pomiarów

Pomiary w wyznaczonych punktach wykonano w następujących warunkach:

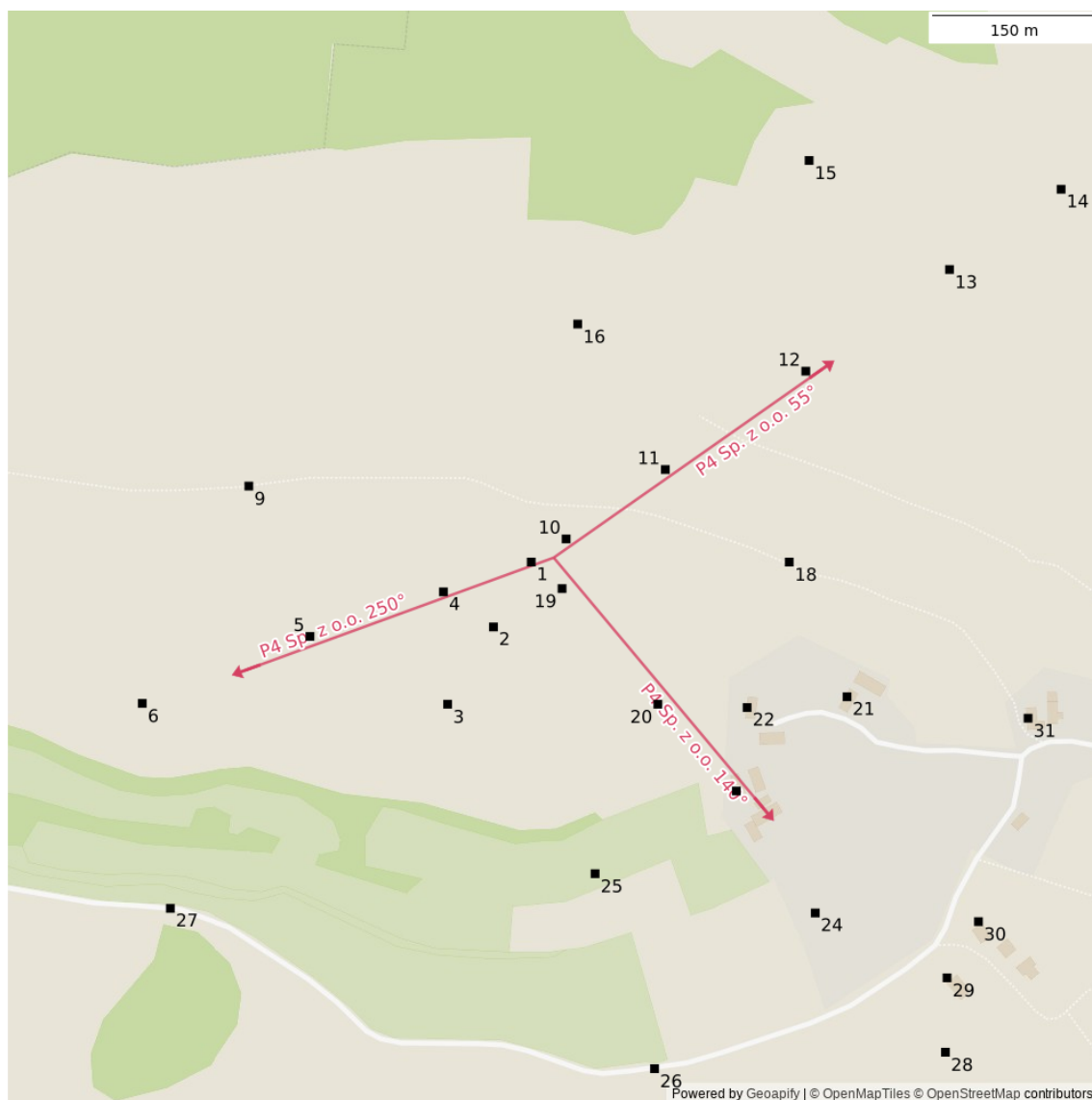
08.02.2022 11:00-12:30			
Warunki środowiskowe	Temperatura [°C]	Wilgotność [%]	Opady
Minimalna	1,7	72,3	brak
Maksymalna	2,6	75,0	

## Aparatura

Tabela 2: Aparatura

MIERNIKI I SONDY					
Lp.	Typ / Nazwa	Model	Producent	Próg detekcji	Świadectwo wzorcowania
1a	miernik	NBM-520	Narda		LWiMP/W/068/20 z dn. 02.03.2020 wydane przez LWiMP Politechniki Wrocławskiej
1b	sonda	EF6091	Narda	0,60	
POZOSTAŁE					
Lp.	Typ / Nazwa	Model	Producent	Świadectwo wzorcowania	
2	termohigrometr	P330	DOSTMANN	47102/2016 z dn. 28.11.2016 wydane przez LAB-EL ELEKTRONIKA LABORATORYJNA ANDRZEJ ŁOBZOWSKI, MARIA ŁOBZOWSKA SP. J.	

## Lokalizacje pionów pomiarowych



Rysunek 1: Plan terenu

## Wyniki pomiarów szerokopasmowych

Tabela 3: Zestawienie lokalizacji pionów pomiarowych oraz wyników pomiarów natężenia pola elektrycznego, pomiary szerokopasmowe

Nazwa	Data	Współrzędne geograficzne	E	WM <sub>E</sub>	H	WM <sub>H</sub>
		[°]	[ $\frac{V}{m}$ ]		[ $\frac{A}{m}$ ]	
1	08.02.2022	16,3778020 50,7402020	1,90	0,068	0,005	0,069
2	08.02.2022	16,3773110 50,7396690	1,42	0,051	0,004	0,052
3	08.02.2022	16,3767160 50,7390340	< 1,42	< 0,051	< 0,004	< 0,052

Ciąg dalszy na następnej stronie

Tabela 3: Zestawienie lokalizacji pionów pomiarowych oraz wyników pomiarów natężenia pola elektrycznego, pomiary szerokopasmowe (c.d.)

Nazwa	Data	Współrzędne geograficzne	E	WM <sub>E</sub>	H	WM <sub>H</sub>
		[°]	[ $\frac{V}{m}$ ]		[ $\frac{A}{m}$ ]	
4	08.02.2022	16,3766620 50,7399570	2,13	0,076	0,006	0,077
5	08.02.2022	16,3749290 50,7395910	1,66	0,059	0,004	0,060
6	08.02.2022	16,3727510 50,7390410	1,66	0,059	0,004	0,060
7	08.02.2022	16,3700910 50,7384910	1,42	0,051	0,004	0,052
8	08.02.2022	16,3696940 50,7402430	1,90	0,068	0,005	0,069
9	08.02.2022	16,3741350 50,7408260	2,37	0,085	0,006	0,086
10	08.02.2022	16,3782550 50,7403920	2,37	0,085	0,006	0,086
11	08.02.2022	16,3795430 50,7409620	2,13	0,076	0,006	0,077
12	08.02.2022	16,3813670 50,7417700	1,66	0,059	0,004	0,060
13	08.02.2022	16,3832330 50,7426050	< 1,42	< 0,051	< 0,004	< 0,052
14	08.02.2022	16,3846820 50,7432640	< 1,42	< 0,051	< 0,004	< 0,052
15	08.02.2022	16,3814100 50,7435010	< 1,42	< 0,051	< 0,004	< 0,052
16	08.02.2022	16,3784050 50,7421570	2,13	0,076	0,006	0,077
17	08.02.2022	16,3857440 50,7420490	< 1,42	< 0,051	< 0,004	< 0,052
18	08.02.2022	16,3811520 50,7402020	1,42	0,051	0,004	0,052
19	08.02.2022	16,3782020 50,7399840	1,90	0,068	0,005	0,069
20	08.02.2022	16,3794460 50,7390340	1,66	0,059	0,004	0,060
21	08.02.2022	16,3819030 50,7390950	< 1,42	< 0,051	< 0,004	< 0,052
22	08.02.2022	16,3806050 50,7390070	< 1,42	< 0,051	< 0,004	< 0,052
23	08.02.2022	16,3804650 50,7383210	1,42	0,051	0,004	0,052
24	08.02.2022	16,3814900 50,7373190	< 1,42	< 0,051	< 0,004	< 0,052

Ciąg dalszy na następnej stronie

Tabela 3: Zestawienie lokalizacji pionów pomiarowych oraz wyników pomiarów natężenia pola elektrycznego, pomiary szerokopasmowe (c.d.)

Nazwa	Data	Współrzędne geograficzne	E	WM <sub>E</sub>	H	WM <sub>H</sub>
		[°]	[ $\frac{V}{m}$ ]		[ $\frac{A}{m}$ ]	
25	08.02.2022	16,3786310 50,7376420	< 1,42	< 0,051	< 0,004	< 0,052
26	08.02.2022	16,3794030 50,7360400	< 1,42	< 0,051	< 0,004	< 0,052
27	08.02.2022	16,3731160 50,7373570	< 1,42	< 0,051	< 0,004	< 0,052
28	08.02.2022	16,3831800 50,7361750	1,42	0,051	0,004	0,052
29	08.02.2022	16,3832010 50,7367860	< 1,42	< 0,051	< 0,004	< 0,052
30	08.02.2022	16,3836090 50,7372480	1,42	0,051	0,004	0,052
31	08.02.2022	16,3842530 50,7389190	< 1,42	< 0,051	< 0,004	< 0,052

## Podsumowanie

Na podstawie wyników pomiarów pola elektromagnetycznego przedstawionych w niniejszym raporcie o nr P4/15/2022 opracowanym przez A-CONNECT Anna Garwol-Porosa stwierdza się, że w otoczeniu stacji bazowej WAL3122 dopuszczalne poziomy pól elektromagnetycznych w środowisku, określone w przepisach wydanych na podstawie art. 122 ust. 1 ustawy z dnia 27 kwietnia 2001 r. – Prawo ochrony środowiska uznaje się za **dotrzymane**. Udokumentowano, że w żadnym pionie pomiarowym wartości wskaźnikowe WM<sub>E</sub> oraz WM<sub>H</sub> nie przekroczyły 1.

## Osoby odpowiedzialne

Wykonanie pomiarów: b.d.

Opracowanie sprawozdania: b.d.

Autoryzacja sprawozdania: Łukasz Porosa (Kierownik ds. jakości)